

III-15 砂地盤上の基礎の支持力に及ぼす相対密度の影響

九州産業大学工学部 正石堂 総正・永吉 寿
学山下 春明
松吉 明仁 神野 篤三

1. まえがき 基礎の支持力を求めるには、地盤の強度と変形の要素について検討し、それらを総合的に判断することが基本的なやり方である。従来は強度論的検討が優先してきたが、砂地盤の場合相対密度の大きさによつて変形特性が非常に異なるので、両者を考慮したいわゆる地耐力とその考え方が重要となつてくる。剛塑性論による支持力としては Terzaghi の式などで、地盤の強度定数や N 値などから求めることができるが、圧縮を伴なう地盤では全ての状態で満足し得るものとはならぬ。その便法として Terzaghi の式では、全般破壊と局部破壊に対する支持力係数の考え方を変える方法をとつてゐる。また、L.Zeevaert¹⁾は、砂の圧縮性と相対密度、相対密度と支持力の関係を用いて剛塑性論で求められた支持力係数から地盤の相対密度における支持力を求める方法を提案している。ここでは、Zeevaert と同様の考え方立ち、強度と変形を同時に考慮した地耐力の求め方を探ろうとするものであり、室内模型試験により検討したものである。

2. 試料および実験方法 試料は豊浦標準砂と玄界海砂を用いた。粒度および諸物理値は図-1、表-1 の通りであり、玄界海砂の方が粒径がやや大きく、粒度もより大きい。実験土槽は $1m \times 1m \times 0.5m$ の鋼板製のもので、載荷はエアージャッキにより $2mm/min$ の沈下速度制御式で行つた。載荷板は、厚さ $2cm$ のアクリル板で $10cm, 15cm, 20cm$ 角の 3 種を用いた。造成地盤は、 e_{min}, e_{max} の測定結果をもとに相対密度 $20, 40, 60, 80\%$ の状態に締固め、各条件で 2 回以上の載荷試験を行つた。

3. 実験結果および考察 図-2 は、玄界海砂の $B=10cm$ の実測例であり、他の条件における傾向もこれとほぼ同様の結果が得られた。図は、(沈下量 S における応力 σ) / (極限支持力 σ_u) ~ (沈下量 S) / (載荷板幅 B) の関係を表わしているが、相対密度が小さくなると明瞭なピークを示さなくなる。このような状態での極限支持力は、Van der Veen の手法により求めた。結果の特徴としては、相対密度が小さくなるにつれて、各 σ/σ_u レベルにおける S/B の値は大きくなる。極限状態の S/B の値は、 $D_r=80\%$ 程度では約 10% 以下となるが、相対密度が小さくなると 10% をはるかに超える値となり、地耐力を求めるに

表-1 試料の物理定数および粒度試験結果

試料名	G_s	e_{max}	e_{min}	D_{60}	D_{30}	D_{10}	U_c	U'_c
豊浦砂	2.645	0.992	0.596	0.252	0.206	0.144	1.75	1.17
海砂	2.642	0.926	0.511	0.520	0.310	0.190	2.74	0.97

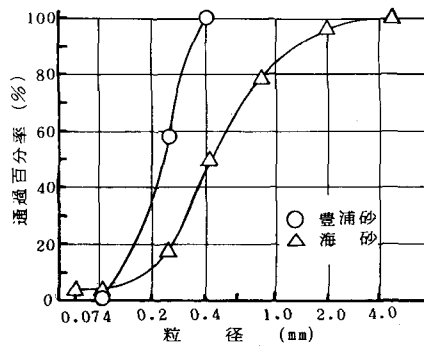


図-1 粒径加積曲線

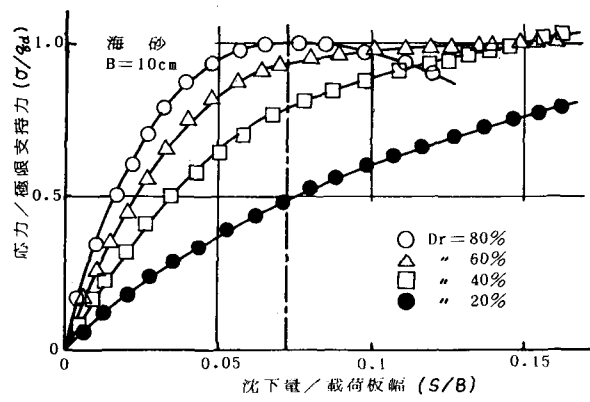


図-2 応力 / 極限支持力 ~ 沈下量 / 載荷板幅

は、沈下に対する換算は検討をすることが必要であることを示している。

いまよく締めた状態(例えば、 $D_r = 80\%$)と同等の沈下を許すものと考えれば、相対密度の低い状態における β_d の値は1よりかなり小さくなる。このときの応力を $\bar{\sigma}_d$ とすれば、

$$\bar{\sigma}_d = \alpha \delta_d \quad (\alpha: \text{低減係数}) \quad (1)$$

とおくことができ、 $\bar{\sigma}_d$ は沈下を規制したときの修正支持力と考えることができる。 $D_r \geq 80\%$ は剛塑性体とはいえないが、 δ_d には近似的に剛塑性論による値を当てるものとする。図-3の中にも示す $D_r = 80\%$ のピーク時のS/Bにおける各相対密度の β_d を α として示すと図-3、4のようになる。砂の種類によって幾分異っているが、 $\log \alpha \sim \log D_r$ は直線的関係にある。また、載荷板幅が大きくなるに従って α は大きくなり、相対密度の大きさに応じたある値に漸近する傾向があるので、寸法効果の検討をする必要がある。種々な検討要素はあるが、各砂の平均および両砂の平均的近似式を求める図-5のようになり、

$$\text{豊浦砂} \quad \alpha = 0.300 D_r^{0.308} \quad (2)$$

$$\text{玄界灘砂} \quad \alpha = 0.082 D_r^{0.623} \quad (3)$$

$$\text{近似式} \quad \alpha = (0.136 \sim 0.14) D_r^{0.5} \quad (4)$$

における。(4)式では $D_r = 54\%$ 以上(中位の締り方)以上では $\alpha = 1$ となり、低減の必要はない、逆に $D_r = 30\%$ (ゆるづめ)以下では $\alpha = 0.75$ 以下に低減する必要がある。

$$L. Zeveaert \text{ は、 } \alpha = 0.1 + D_r \quad (5)$$

としているが、(2)～(4)式に比較して低減率が大きく、安全に過ぎる感がある。

図-6は、(4)、(5)式の低減係数を用いて求めた修正支持力を示している。実線は、強度から求まる許容支持力であり、破線は $D_r = 80\%$ と同程度の沈下しか許さない場合の値であつて、沈下を考慮したものであり一種の許容地耐力に相当する。このように、相対密度が小さい場合は、中が小さく、圧縮性が大きくなるので、これら2重の影響を受けて許容地耐力は非常に小さくなる。

4. あとがき 室内造成地盤を用いて模型実験を行ひ、たゞ、模型の大きさをいま少し大きなものとすれば、定量的に問題が残っている。しかし、少しくとも砂地盤の造成地に対する傾向は同様な考え方で処理することが可能である。ひいては自然地盤へも展開することができる。今後は、それらの未決の問題について更に検討を加えたい。

参考文献

Leonarda Zeveaert : 「Foundation Engineering for Difficult Subsoil Condition」
Van Nostrand Reinhold . 1972

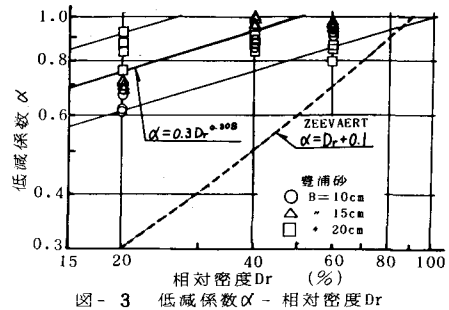


図-3 低減係数 α - 相対密度 Dr

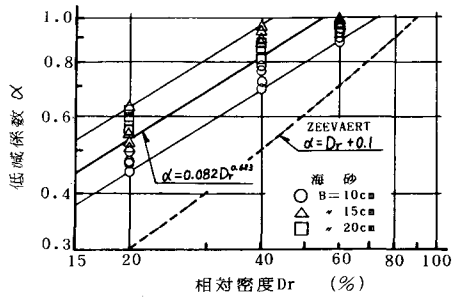


図-4 低減係数 α - 相対密度 Dr

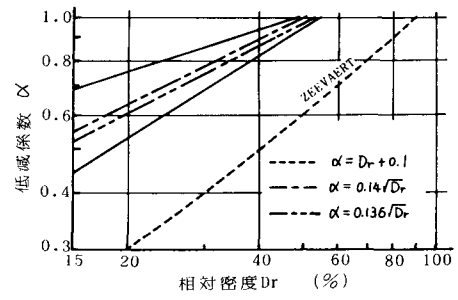


図-5 低減係数 α - 相対密度 Dr

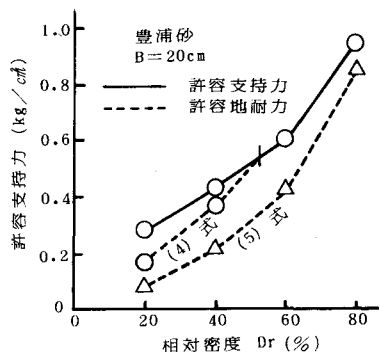


図-6 許容支持力- 相対密度